

СТРУКТУРОВАНА ВОДА.

Методи визначення параметрів та можливості застосування

¹к.м.н.,д.ф.м.,акад.МАБТ Гладкий О.В.,

^{1,2}к.т.н., акад.МАБТ Добровольський Ю.Г., ¹к.м.н., д.ф.м., акад.МАБТ Гладка Л.Ю.

¹Міжнародна академія біоенерготехнологій,

²Науково-виробнича фірма «Тензор», Чернівці

Актуальність питання отримання структурованої питної води, контролю її якості не викликає сьогодні сумнівів. Адже на її основі побудоване життя, і, саме завдяки їй можливо здійснити прориви як в заходах з охорони здоров'я, так і у заходах профілактики захворювань.

«...Найкращою стратегією в довгостроковій перспективі розвитку суспільства слід признати досягнення економічних цілей при мінімізації втрат для населення... Що потребує розробки нової концепції в системі організації охорони здоров'я.

Економічна актуальність цієї задачі визначається значним зростанням вартості послуг охорони здоров'я та необхідністю заміщення затрат з малопродуктивної сфери лікування патологій в сферу економічно вигідної ранньої – скринінгової, на до клінічних стадійх – діагностики та їх профілактики...

Нова концепція передбачає розвиток наступних актуальних напрямлень дослідження... хіміотерапії при онко-гематологічній патології та ін.» [1].

«Сучасна наука, через майже сто років після геніального передбачення Вернадського та через 1670 років після Нікейського собору, що сформулював другу за значимістю молитву християн – символ віри, в якій йдеться мова як про світи видимі, так і про світи невидимі, приходиться до висновку, що нас оточують явлення, що недоступні нашим органам відчуттів, які проявляють себе через інформацію.» [2].

«Термін «наука» виник пізніше терміну «магія». Його винахід приписують древнім грекам, що дійсно внесли вагомий вклад в упорядкування накопичених на той час людських знань. І зараз важко сказати, чи була тоді об'єктивна необхідність виділення та окремого визначення частини накопичених знань або просто перевагу здобула суб'єктивна необхідність особистого само виділення їх носіїв. Питання далеко не марне, так як у всі епохи та часи до та після цього спочатку «магічні», а потім і «наукові» угруповання («школи», «направлення» та ін..) вели запеклу боротьбу за доступ до суспільних ресурсів-кормушок. І чим менш помітною була користь, що вони приносили годувальникам, тим більш важливими оголошувалися формальні ознаки – звання, регалії, ярлики та приналежність до наділеними ними. ...Тому терміни наука та магія згідно наукової термінології є майже синонімами.» [3].

Автори звіту про роботу, що була виконана в Інституті медичних проблем Півночі (м. Красноярськ, Росія), зробили такі висновки: «Встановлено, що дія ТП (торсійне поле) на організм людини та суспензію лімфоцитів в периферичній крові викликає зміни внутрішньоклітинних обмінних процесів, що залежать від індивідуальних особливостей регуляції організму».

В роботах Акімова А.Е., Шипова Г.І та ін. описується сконструйований генератор, який випромінює ефірно-динамічні потоки ТП. Якщо такий генератор працює в режимі «лівих» ТП (ефірний потік закручується вліво – проти годинникової стрілки), то тканинні культури (тобто клітини людини) починають активно розмножуватись, в той час коли синтез білка в клітинах та полісахаридів йде нормальним порядком. При зміні режиму генерації на протилежний, тобто позитивний («правих» ТП), мітоз відсутній, але синтез білка в клітинах, активність їх геномів надзвичайно висока в усіх випадках. Автори виявили ефект існування в

організмі людини невідомих бар'єрних механізмів, що перешкоджають проникненню нової інформації за допомогою ТП. Річ іде про «торсійний імунітет» організму.

Відомо, що гепатогенні зони (ГПЗ) в своєму випромінюванні містять різні по своєму знаку торсійні компоненти – ліві та праві. Саме ліві торсійні компоненти здійснюють негативний вплив на людину. Як було суворо показано Шиповим Г.І., в рамках теорії торсійних взаємодій, на відміну від електромагнетизму, де різнойменні заряди притягуються, ТП різного знаку, навпаки, відштовхуються, однакового – притягуються [4]

На сьогодні знайшли значне розповсюдження різні пристрої та конструкції для нейтралізації впливу лівих ТП ГПЗ, однак експериментально було визначено, що більшість приладів недостатньо ефективно захищають людину в силу слабого формового ТП, що генеруються цими пристроями. Для нейтралізації використовують також поглинаючі властивості різних матеріалів: віск, мінерали, повсть, папір та ін. [5].

З огляду на вище сказане, були сформульовані наступні завдання для дослідження шляхів створення структурованої води та методів її дослідження:

1. За допомогою вивчення ряду фізичних та фізико-хімічних характеристик високоякісної природної питної води як біологічного детектора вивчити можливість впливу біоенергоінформаційного (погляд, думка, біоенергетичний контакт через скло стакану та молитви) впливу сенсетиву. Паралельно визначити біолокаційно (радіостезією) величину біоенергетики цих же зразків води.

2. Дослідження впливу сенсетиву (О.Грека) на світимість води в умовах газорозрядної візуалізації. Виявлення можливих змін світимості води в наслідок її опрацювання. Визначити можливості вибраних приладів для фіксування величин після впливу на неї.

3. Визначити перспективні напрямки застосування структурованої води певних характеристик.

Методика дослідження для вирішення першого завдання.

В якості природного біологічного детектора впливу біоенергоінформаційного поля сенсетива бралась природна, структурно-упорядкована (фрактальна, дисиметрійна) вода «Конотопська чарівна». Сенсетивом служила людина, Грек О., яка власною методикою біоенергоінформаційного впливу обробляла воду. Вода із пляшки, яка знаходилась в окремій кімнаті, де не проводилась обробка води, наливалась в склянку 100 мл і оброблялась (відкрита поверхня води) протягом кількох хвилин і зразу ж вимірювалось значення кислотно-лужної рівноваги (pH_0). Далі, після обробки, вода переливалась в стерильну пластмасову пляшку і через 1,5-2 години після обробки проводились вимірювання ряду фізичних та фізико-хімічних характеристик зразків біоенергоінформаційно оброблених вод.

Визначались такі характеристики зразків вод: величина електропровідності в μS , окислювально-відновлювальний потенціал в mV (ці виміри проводились за допомогою приладу «WATER TEST», Hanna Instruments, Mauritius. Далі мірялись величини pH_1 , зміна цієї величини після активації (гомеопатичне струшування) ΔpH_1 . Методом клиновидної дегідратації одержувались зразки твердої фази води для визначення структурної упорядкованості води. Співставлення початкових вимірювань pH_0 з цими даними (в часі зберігання зразків води) давали можливість визначити стабільність фізико-хімічних властивостей зразків вод в часі їх збереження.

Окремо за допомогою радіостезії (біооператор Н.) визначалась за допомогою металевого маятника значення біоенергетики води.

Біоенергоінформаційний вплив сенсетива на воду полягав (на думку сенсетива) у зміні властивостей води в такому напрямку: 1 - покращення загальної біоенергетики («жива вода» з право обертовим торсійним полем – *авт.*); 2 - погіршення (негативна) біоенергетика («мертва вода» з ліво обертовим торсійним полем - *авт.*); 3 - одержання води типу хрещенської («освячена вода» з право обертовим торсійним полем - *авт.*); 4 - підсилення біоенергетики води, так як для зразка 1 («живий еліксир» з право обертовим торсійним полем – свідоме підсилення потужності в 4 рази - *авт.*). Дослідження проводилось 24.12.2007 р. в лабораторії Українського інституту екології людини.

Результати дослідження.

Одержані результати зведені в таблицю 1 відносно контрольної води.

Таблиця 1. Результати дослідження зміни електрохімічних властивостей води під дією сенситива.

Зразки Води	Провідність (μS_c)	Окисновідновлювальний потенціал (mV)	pH ₀	pH ₁	ΔpH_1	Структура	БЕ
К	513	141	-	7.82	0.19	+	+80
1	69	159	6.90	7.21	0.50	Сильніша за К	-50
2	55	159	5.95	7.28	0.12	Інша структура ніж 1	+200
3	<1	149	6.96	7.23	0.07	Особлива	+80
4	<1	176	6.78	7.0	0.10	≈ 1	-200

Висновки по першому завданню.

Із таблиці видно, що всі вимірювальні характеристики вод змінюються в залежності від біоенергоінформаційного впливу сенсетива.

Важливо, що спостерігається як швидко діє сенсетив на, так і процес релаксації (стабілізації) характеристик після дії.

Добре корелюють із характером БЕІ впливу: величини ОВП(mV); структура води та стабільність структури відносно гомеопатичного потенціювання (струшування).

Добре відслідковується біоенергетика (позитивний вплив на воду (зразки 1 та 4) і «Водохреща» (зразок 3). Якісно спостерігається кореляція фізико-хімічних характеристик із вимірами біоенергетики за допомогою біолокації.

Найбільш стабільні характеристики в часі для води під номером 3.

Біоенергоінформаційний вплив, контрольований сенсетивом, дійсно має місце і добре реєструється за допомогою фізичних характеристик природної структурованої води як біодетектора дії впливу людини.

Дослідження для вирішення другого завдання.

Дослідження проводились 10 червня 2009 року у період від 10.35 до 11.50 за допомогою установки для дослідження води методом газорозрядної візуалізації [6, 7]. Її блок-схема наведена на рисунку 1 [8 - 10]. Оптична схема установки наведена на рисунку 2.

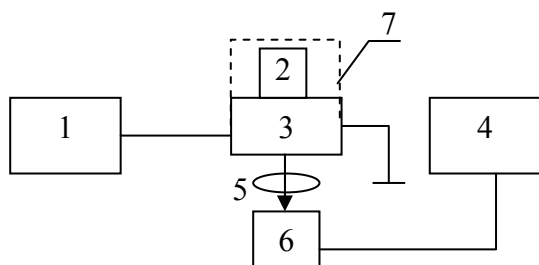


Рисунок 1. Блок-схема установки для дослідження рідини.

- 1- генератор високої напруги;
- 2- досліджуваний зразок; 3- розрядно-оптичний пристрій; 4- вимірювальний блок (ППТН-03);
- 5- оптична система; 6- радіометрична головка;
- 7- світло непроникливий екран.

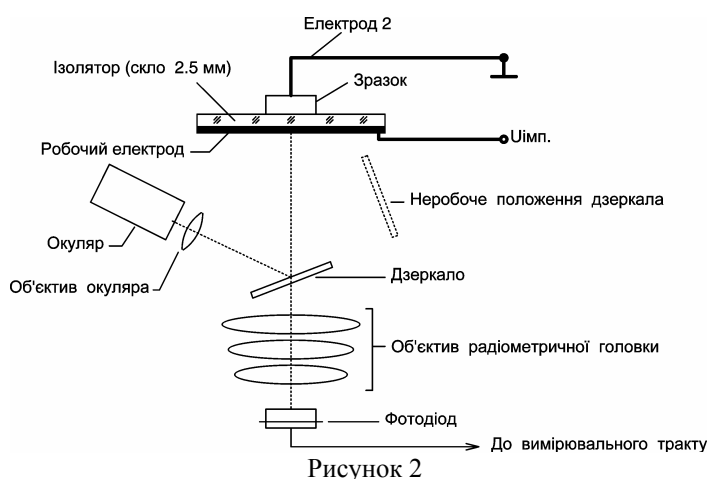


Рисунок 2

Вимірювальний блок (перетворювач струм-напруга ППТН-03 [9] забезпечував вимірювання світимості води з межею основної відносної похибки $\pm 1\%$.

Слід зауважити, що існують конструкції апаратів для ГРВ-візуалізації, розроблених К.Г. Коротковим [11], в яких оцінюється площа засвітки та її екстраполяція на певний об'єкт, наприклад тіло людини. З наших дослідів відомо [12, 13], що вимірювання світимості оптично-електронним методом, коли фіксується фотострум фотоприймача, згенерований засвіткою досліджуваного об'єкту в умовах ГРВ, більш тоне, ніж порівнянні площин засвітки. При зовні однаковій картині засвітки від двох об'єктів, різниця фотострумів, генерованих ними, може досягати від 30 до 100 %. Питання метрології процесу в пристроях Короткова також залишається відкритим на відміну від нашого способу дослідження.

Методика дослідження для вирішення другого завдання.

Поверхню скляного ізолятора розрядно-оптичного пристрою перед роботою та періодично протирають бавовняною тканиною змоченою в етиловому спирті.

Вмикають генератор та перевіряють відсутність електричних пробів в розрядному блоці та генераторі при амплітуді імпульсів до 25 кВ. Вимикають генератор.

Вмикають вимірювач ППТН-03 та проводять установку нуля. При цьому кришка розрядного блоку повинна бути встановлена, а дзеркало переведене в положення ГОЛОВКА. При відкриванні кришки розрядного блоку попередньо переводять вимірювач в положення мінімальної чутливості.

Для забезпечення ідентичності умов вимірювань попередньо встановлювати режим роботи генератора за допомогою контрольного фіксованого електрода. В якості контрольного електрода застосовується плоский металевий (латунний) електрод діаметром 10 ... 20 мм. При цьому фіксують показі ППТН-03 у В/А. Перед початком роботи перевіряють надійність заземлення розрядного блоку та установки в цілому. При вимкненому генераторі встановлюють досліджуваній зразок - пігулку активованого вугілля, наповнену водою (0,3 мл), та під'єднують його за допомогою голкоподібного електрода до загального провідника. Розрядний блок закривають кришкою. Вмикають генератор та встановлюють необхідний режим його роботи. Проводять відлік фотоструму за показами вимірювача ППТН-03. Вимикають генератор.

Після цього, не знімаючи пігулки активованого вугілля з водою з скляного ізолятора розрядно-оптичного пристрою, вода у пігулці обробляється сенситивом (О. Грек).

За умовами дослідження, світіння води мало змінитися в залежності від того, на скільки змінював властивості води (її структуру) сенситив. Умовні позначення структурованої (СВ) води були наступними у відповідності з задачами 1 та 2:

X – «жива вода»,

У – «мертва вода»,

XУ – «освячена вода»,

X4 – «живий еліксир», за визначенням сенсетива має більшу енергетичну потужність відносно X на вказаний коефіцієнт,

У7 – «мертва вода Калган», також має більшу потужність відповідно.

Після впливу сенситивна на воду у пігулці здійснювались операції по вимірювання її світимості згідно вищевикладеній методиці.

У дослідження було використано два генератори високої напруги. А саме.

У першій серії досліджень серійний генератор для дерсанвалізації «Корона», виробництва заводу «Новатор» (м. Хмельницький). Дослідження здійснювались при максимальній напрузі (до 25 кВ) та фіксованій частоті (100±10) Гц.

У другій серії досліджень застосовувався генератор, розроблений Прохоровим Ю.А. спеціально для дослідження світимості води. Максимальна напруга, генерована цим генератором складає 15 кВ, частота регулюється від 0 (умовного) до 1000 Гц.

Перша серія досліджень.

Дослідження проводились 10.06.09 у період з 10^{25} до 11^{03} . Точність зазначення часу зумовлена тим, що в деяких випадках ефективність роботи сенситива залежить від різноманітних явищ, які відбуваються в просторі та часі. Наприклад флуктуації магнітного поля Землі, зміна активності планетарних радіаційних поясів, сеанси космічного зв'язку, активність мобільного зв'язку, аномальне підвищення, або зниження температури і т.і.

В таблиці 2 наведено результати дослідження води, опрацьованої сенсетивом О.Греком, світіння якої генероване першим (серійним) генератором.

Таблиця 2. Генератор «Корона». Напруга до 25 кВ, частота 100 Гц.

Тип води	Контрольний зразок	X4	У7	XУ	X	У	У7 (7м)
Світіння зарядженої води, В/А	0,55 ↑	0,49	0,45	0,49	0,48	0,445	0,48
Світіння чистої води, В/А		0,49	0,455	0,49	0,47	0,46	0,47
Час		10.25	10.29	10.47	10.52	10.57	11.03

На рисунку 3 наведено зміна світіння зарядженої води в залежності від властивостей накладеної на воду інформації.

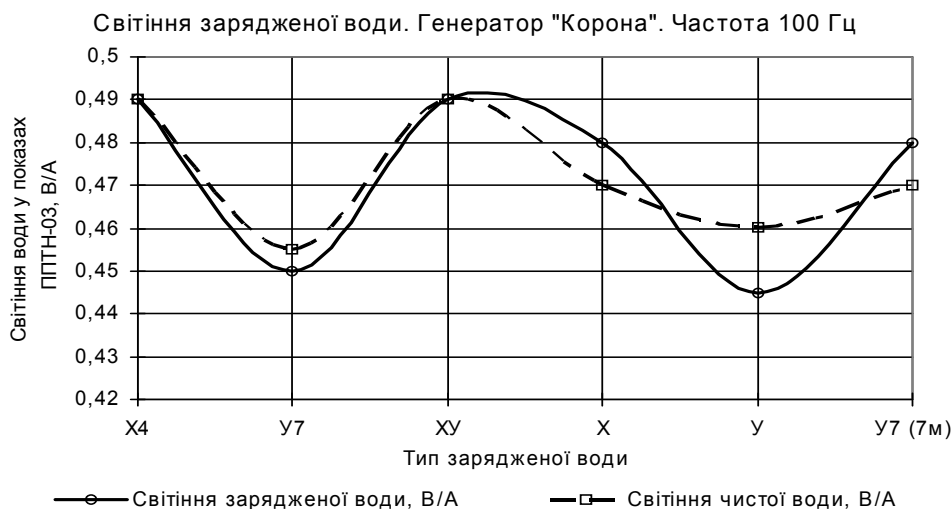


Рисунок 3.

З урахуванням похибки вимірювання ППТН-03 ($\pm 1\%$), несуттєві зміни світіння води (на рівні похибки вимірювання), мають відповідати значенням приблизно 0,005 А/В. У випадку наших вимірювань ми спостерігаємо зміни світимості на рівні від 0,1 до 0,4 А/В для опрацьованої води, та від 0,6 до 1 А/В для опрацьованої та чистої (неопрацьованої) води.

Таким чином, маємо підстави стверджувати про об'єктивність отриманого результату, який полягає у тому, що за допомогою створеної установки вдається зафіксувати зміну світимості води, спричинену дією сенситивна.

Як видно з результатів вимірювання, запропонована методика дозволяє також визначити і якісну характеристику води, на яку здійснюється вплив сенситива. Зокрема видно, що вода, позначена символом У (мертва вода) та У7 (мертва вода «Калган») має меншу світимість, ніж жива (Х), освячена (ХУ) та «живий еліксир» (Х4). При цьому слід відмітити, що виявити чотирьохкратне посилення енергетики «живого еліксиру» (Х4) у порівнянні із просто «живою водою» (Х) виявити не вдалося.

Відносний збіг світіння чистої та зарядженої води, який спостерігається на рисунку 3, може бути пояснений ефектом чутливості води. Відомо, що вода здатна завчасно реагувати на дії, які плануються з нею зробити [14, 15]. З певним припущенням можна допустити, що в дослідженні, проілюстрованому рисунком 3 видна попередня реакція води на дослід – зміну її властивостей, та її реакція після такої дії.

Друга серія досліджень.

Дослідження проводились 10.06.09 у період з 11.³⁰ до 12.⁵⁰.

В таблиці 3 наведено результати дослідження води, опрацьованої сенситивом О.Греком, світіння якої генероване другим (авторським) генератором.

Таблиця 3. Авторський генератор. Напруга до 15 кВ. Частота 1000 Гц.

Тип води	Контроль-ний зразок	X4	У7	XУ	X	У	В дина-міці
Світіння зарядженої води на початку вимірювання, В/А	0,56 ↑	0,45	0,57	0,6	0,65	0,62	0,51 - 0,33
Світіння зарядженої води, В/А		0,6	0,6	0,65	0,59	0,57	
Світіння чистої води, В/А		0,54	0,53	0,535	0,525	0,54	0,53
Світіння контрольного зразка, В/А		0,57	0,57	0,57	0,57	0,57	0,57
Світіння вугілля без води, В/А		0,42	0,42	0,42	0,42	0,42	0,42

На рисунку 4 наведено зміна світіння зарядженої води в залежності від властивостей накладеної на воду інформації при роботі авторського генератора.

Світіння зарядженої води. Генератор авторський. Частота 1000 Гц

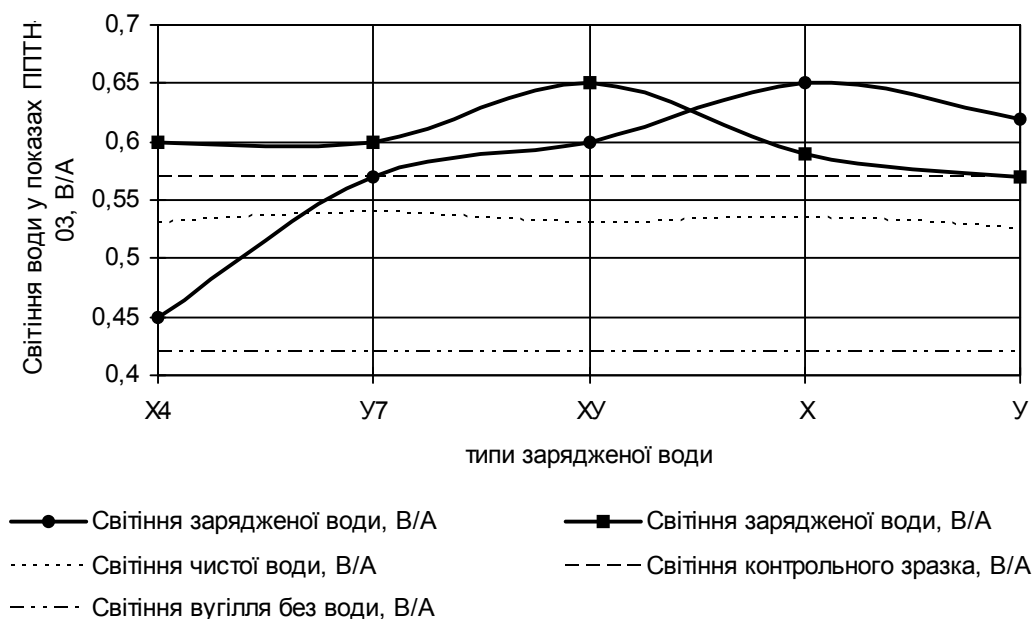


Рисунок 4.

Як і в попередньому дослідженні видно, що вода заряджена по різному, по різному світиться. При частоті імпульсів з генератора в 1000 Гц спостерігається, що «освячена вода» (ХУ) та «жива вода» (Х) світяться інтенсивніше, ніж «мертва» (У) та «мертва вода Калган» (У7). Але вода «живий еліксир» (Х4) в цих умовах світиться слабкіше решти зразків води. Оскільки розкид значень світіння води Х4 на рисунку 4 досить великий, то можна допустити, що в даному випадку має місце похибка експерименту.

Також, на нашу думку, слід звернути увагу на залежність світимості води від частоти роботи генератора високої напруги. У випадку вимірювання світимості чистої (води, не опрацьованої сенситивом) у першому експерименті, із застосуванням генератора з частотою

100 Гц спостерігається кореляція світимості води до та після її опрацювання сенсетивом. У другому експерименті, із застосування генератора з частотою 1000 Гц такої кореляції не спостерігається.

На нашу думку слід продовжити експерименти з виявлення чутливості води до частотних діапазонів роботи генератора, якій забезпечує умови ГРВ, при яких вдається досліджувати світимість води.

На рисунку 5 наведено характер зміни світіння зарядженої води в залежності від властивостей накладеної на воду інформації при роботі генератора Корона та авторського генератора.

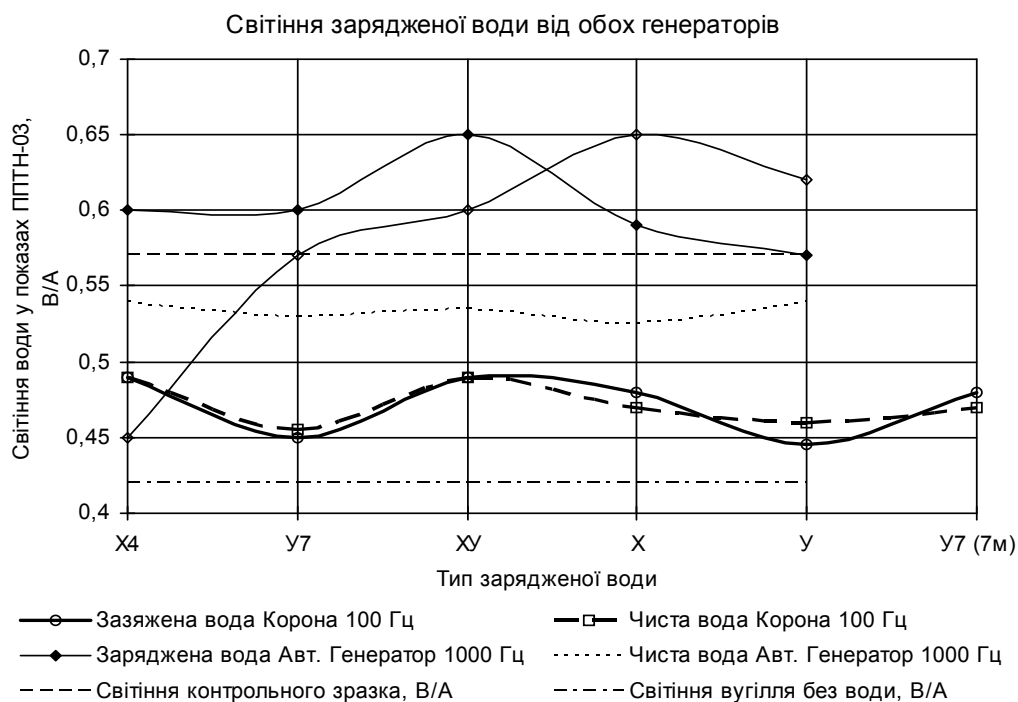


Рисунок 5.

Як і в попередньому випадку, оцінку отриманих результатів потрібно здійснювати з урахуванням похибки вимірювання ППТН-03 ($\pm 1\%$). Зміни світіння води у межах похибки вимірювання повинні відповідати значенням приблизно 0,005 А/В. У випадку другої серії вимірювань спостерігається зміна світимості на рівні від 0,42 до 0,65 А/В для опрацьованої води, та від 0,42 до 0,56 А/В для опрацьованої та чистої (неопрацьованої) води, т.т. зміна світимості складає 0,23 та 0,14 А/В відповідно, що значно більше, ніж межа основної відносної похибки вимірювання.

Як видно на рисунку 3, зміна світіння води різної інформаційної структури коливається у межах від 0,445 до 0,490 В/А, т.т. на 0,045 В/А, або на 10 %. З урахуванням межі основної відносної похибки вимірювання $\pm 1\%$ можна стверджувати про об'єктивні характерні зміни світіння різних станів води в межах від 9 до 11 %.

На рисунку 4 видно, що світіння води змінюється в межах від 0,45 В/А до 0,65 В/А, т.т. на 0,2 В/А. Якщо, відкинути аномальне світіння (0,45 В/А), то зміна світіння складатиме 0,57 – 0,65 В/А, т.т. на 0,07 В/А, або на 12 %. З урахуванням межі основної відносної похибки вимірювання $\pm 1\%$ можна стверджувати про об'єктивний характер зміни світіння різних станів води в межах від 13 до 11 %.

Висновки по другому завданню

Методика та обладнання для дослідження світіння води в умовах ГРВ дозволяють об'єктивно ідентифікувати з похибкою не більше $\pm 1\%$:

1. Наявність впливу на воду сенсетива.
2. Якісний характер впливу на воду (позитивний, або негативний).

3. Існують підстави вважати, що запропонована методика, на певних частотах, здатна виявляти попередню реакцію води на вплив, який планується здійснити.

Дослідження для вирішення третього завдання.

Для вивчення біоенергетичного стану хворих онкологічного профілю (Ракова хвороба) було проведено аналіз захворювання за архівним матеріалом – 690 історій хвороби, та 247 хворих під час обстеження та лікування, з подальшим використанням біолокаційного дослідження. У всіх випадках захворювання було підтверджено патогістологічним дослідженням. Методом біолокації в усіх пацієнтів виявлено «Прокляття на смерть» побутового характеру або виконане майстром на замовлення. Енергетика біологічного торсіонного випромінювання була такою, що у 100% пацієнти знаходились в негативному (лівому – проти годинникової стрілки) обертанні. У таблиці 4 наведений розподіл хворих з найбільш поширеною локалізацією за причинно-наслідковими ознаками.

Таблиця 4. Розподіл хворих з найбільш поширеною локалізацією за причинно-наслідковими ознаками.

Локалізація ураження	Побутове \ на замовлення, %	Термін реалізації	Термін до цілодобового (-) ТП	Мотивація
Шлунково-кишковий тракт (n=334)	20\80	3-5 років	8-10 міс	Неодноразові прикри «порушення» відносно замовника, заздрість
Первинний рак печінки (n=46)	0\100	7-10 днів	1-3 дні	Категорія термінових замовлень – непримиримі суперечки
Рак підшлункової залози(n=31)	5\95	3-4 тижні	3-4 дні	Безповоротні суперечки, замовник не бачить для себе іншого виходу.
Рак легень (n=47)	94\6	8-10 років	4-5 років	За постійний «тиск» на замовника
Злоякісні пухлини середостіння (n=23)	----	6-7 років	Після реалізації	Програми захворювання роду – обмеження росту родового дерева: за невизначеність у відношеннях, періодична зміна відношення в роду (+\-) «гілки»
Ендокринна система(n=53)	90\10	За накопиченням	За накопиченням	Критична кількість невідпрацьованих особисто енергетичних «пошкоджень» - пристрій, псування, прокляття...
Рак молочної залози(n=245)	60\40	8-10 років	3-4 роки	Тільки від жінок, між жіночі негаразди
Гінекологія(n=13)	5\95	4-6 міс	18-21 день	Соціально етнічні суперечки
Рак простати(n=34)	100\0	За накопиченням	За накопиченням	Накопичення проклять на статевому підґрунті
Злоякісні ураження опорно-рухового апарату(n=24)	90\10	4-5 років	3-4 м	Отримані прокляття до 16-18 років – неприязнь у спілкуванні при біо- та соціальній віковій різниці
Злоякісні захворювання крові (n=28)	Культові обряди	1-3 міс	1-3 дні	Соціально-релігійні суперечки
Злоякісні захворювання шкіри (n=28)	Інформаційно-енергетичні потоки зем-	За накопиченням	За накопиченням	Недбале інформаційне енергетичне спілкування

	лі			
Злоякісні пухлини у дітей(n=21)	100\0	2-4 міс	3-4 тижні	Більшість – небажана вагітність для родичів

Після зняття прокляття 1\3 хворих здатна самостійно через 5-6 днів з лівообертвого (-) стану перейти в нульовий (0) та через 3-5 днів нажалі знову переходять в (-), випадків самостійного переходу в право обертовий стан (+) не спостерігали. При вживанні за схемою структурованої води «У7» стан (0) настає подовж першої доби, а стан з цілодобовим (+) торсійним випромінюванням (ТВ) відновлюється за 3-4 тижні поступово погодинно. Повної реабілітації можна досягти при подальшому послідовному вживанні води «У» та «Х» через 1-4 місяці. Використання для розчинення хіміопрепаратів [16] води для інфузії обробленої (-) ТВ усуває побічні дії препаратів в 91-97% випадків. Лабораторні показники крові та імунного статусу не тільки не погіршуються, а у 80-100% мають тенденцію до покращення. При стабільному цілодобовому (+) ТВ лабораторні та імунологічні показники онкохворого набувають значення здорового організму.

Важливим чинником в реабілітації та подальшому перебігу захворювання є енергоінформаційний стан місця де хворий перебуває тривалий час (ліжка, робоче місце, місце денного перебування та відпочинку. Це можуть бути місця з (-) ТВ «рукотворного» генезу, сформована матриця хвороби самим пацієнтом, гепатогенна ділянка (ГПД). При виявленні таких, їх потрібно активно нейтралізувати до (0) стану, а ГПД закрити, помістивши в центрі її активне джерело право обертового торсійного випромінювання. Таке джерело виготовляється за принципом створення води «Х4» на воскові, або краще олові. Гарантований термін роботи такого (+) джерела ТВ (олово, свинець, тощо) 5-7 років. Хоча ГПД не є першопричиною онкологічного захворювання, їх наявність треба розглядати як один з канцерогенних чинників.

Другим об'єктом дослідження біоенергетичного стану склали хворі ревматологічного профілю, у яких прояви захворювання розглядалися як реалізація невідроблених «проблем» роду (прокляття, привороту та інше, особисті гріхи) «до сьомого коліна» для закриття дії [17]. Хвороба виникає у будь якого віці за накопиченням, при цьому особиста карма блокується. Проведено клініко-лабораторне та рентгенівське обстеження з біолокаційним тестування хворих. У таблиці 5 наведений розподіл хворих за діагнозами.

Таблиця 5. Розподіл хворих за діагнозами

Діагноз	чол/ жін, %	Покоління, %					Термін (-)ТВ до клінічного прояву	Термін до самостійно- го віднов- лення (+) ТВ	Термін до віднов- лен.(+) ТВ при вживан- ні СВ
		III	IV	V	VI	VII			
Ревматоїдний артрит (n=191)	5/95	-	60	20	15	5	8	2 роки	3 міс
Подагра (n=54)	97/5	-	-	-	-	100	5-6	4 роки	2-3 міс
Системн. червон. вовчак (n=12)	5/95				80	20	4-5	Самостійно не відновлюється	6 міс
Остеоартроз(n=48)	50/50	50	30	20	-	-	5	1 міс	3-4 дні
Хв. Бехтерева (n=14)	95/5	-	-	-	30	70	10	Самостійно не відновлюється	3 роки
Псоріаз(n=40)	33/67	90	10	-	-	-	5	3 роки	3-4м

Як видно з таблиці 5, перед клінічними проявами захворювання є достатній час щоб після виявлення (-) ТВ усунути фактори його виникнення, тобто доцільно проводити профілактичне обстеження. Використання СВ. суттєво скорочує термін стабілізації та реабілітації хворих.

Висновки по третьому завданню

Таким чином, вивчення біоенергоінформаційного стану води дозволяє визначити можливість впливу сенситиву на прикладі води, а таким чином і визначити методи та прилади за допомогою яких можна достовірно визначати показники для профілактичного та динамічного обстеження при лікуванні. Використовування структурованої води при лікуванні хворих вказаних категорій суттєво покращує лікувальний процес, чим подовжується життя та суттєво підвищується його якість.

Література

1. Ткаченко В.А., Козлов Є.В., Козлова О.Є., Авдоніна О.В. Інформаційно-хвильова медична парадигма контролю та управління адаптаційною здатністю організму. Методи вимірювання біоенергоінформаційних параметрів. «Моноліт», Дніпропетровськ, 2009. С. 217.
2. Ю.Г.Добровольський. Енергоінформаційні процеси. Технології та методи захисту. Матеріали доповідей науково-практичного семінару. Випуск 1. –Чернівці: Місто,2008, - с.5.
3. А.И.Данилюк. О некоторых возможных физических механизмах энергоинформационных воздействий и способах содействия и противодействия им. В кн. Енепргоінформаційні процеси. Технології та методи захисту. Матеріали доповідей науково-практичного семінару. Випуск 1. –Чернівці: Місто,2008, -с.16.
4. Г.И. Шипов, Теория физического вакуума, Наука, Москва (1997), 450с.
5. Підкамінь. Л.Й. Виявлення енергоінформаційного впливу біокоректорів. В кн. Енепргоінформаційні процеси. Технології та методи захисту. Матеріали доповідей науково-практичного семінару. Випуск 1. –Чернівці: Місто,2008, -с.160-170.
6. Баньковский Н.Г., Коротков К.Г. Вивчення фізики процесу газорозрядної візуалізації ("Ефект Кирліан") // Листи в ЖТФ.-1982.- 8. 4.-С.216 - 220.
7. Кожаринов В.А. Электрогазоразрядный метод визуализации.-Мн.: Наука і техніка, 1986. -134 с.
8. А.с. № 1522142 СССР Разрядно-оптическое устройство/ Ю.Г. Добровольский, И.Я. Милованов, Р.И. Плашенков (СССР). - № 4384664/24; Заявлено 29.02 88; Опубл. 15.07.89; Бюл. № 12.
9. Бутенко В.К., Годованюк В.М., Докторович І.В. Прецизійний перетворювач струм-напруга // Науковий вісник ЧНУ. -Вип.102. -Фізика. Електроніка. Чернівці: ЧНУ. –2001. - с. 84-85.
10. Ю.Г.Добровольський. Газоразрядная визуализация – история, промышленное и медицинское применение. В кн. Енепргоінформаційні процеси. Технології та методи захисту. Матеріали доповідей науково-практичного семінару. Випуск 1. –Чернівці: Місто,2008, - с.179-199.
11. <http://www.ktispb.ru>.
12. Ю.Г. Добровольський, Б.Г. Шабашкевич. Установка для дослідження рідини за допомогою газорозрядної візуалізації. Тези доповіді науково-практичної конференції Сенсорна електроніка «Сенсор-2009». Одеса., 2009, С.19-21.
13. Добровольський Ю.Г., Петренко В.А. Исследование геопатогенных зон с помощью поверхностного газового разряда. Тези доповіді науково-практичної конференції Сенсорна електроніка «Сенсор-2009». Одеса., 2009, С.79-81.
14. О.В. Мосин Здоровье: Энергетика воды. О переносе энергии водой и активации воды // <http://www.inauka.ru/blogs/article85657.html>.
15. <http://www.mineralok.ru/mineral.php?nx=9>.

16. А.с. № а 200507553. Спосіб хронометрованої регіонарної хіміотерапії злоякісних пухлин. Гладкий О.В., Гладка Л.Ю., Ніколаєнко О.М., Пасічний С.В.

17. Толковая Библия или комментарий на все книги Св. Писания Ветхого и Нового Завета. – Петербург. 1904-1913.